

Работа 3.6.1

Спектральный анализ электрических сигналов

Шелихов Дмитрий
Группа Б01-305

18 октября 2024 г.

Цель работы: изучить спектры сигналов различной формы и влияние параметров сигнала на вид соответствующих спектров; проверить справедливость соотношений неопределённостей; познакомиться с работой спектральных фильтров на примере RC-цепочки.

В работе используются: генератор сигналов произвольной формы, цифровой осциллограф с функцией быстрого преобразования Фурье или цифровой USB-осциллограф, подключенный к персональному компьютеру.

Теоретическая справка

По теореме Фурье любая периодическая функция может быть представлена в виде ряда (конечного или бесконечного) гармонических функций с кратными частотами - ряда Фурье. Одно из представлений ряда Фурье для функции с периодом T имеет вид

$$f(t) = \frac{A_0}{2} + \sum_{n=1}^{\infty} (A_n \cos(2\pi\nu_n t) + B_n \sin(2\pi\nu_n t)), \quad (1)$$

где $\nu_n = n\nu_0$, $\nu_0 = \frac{1}{T}$, $n = 1, 2, \dots$ - частоты Фурье-гармоник, A_n и B_n - коэффициенты разложения в ряд Фурье.

Коэффициенты находятся как:

$$A_n = \frac{2}{T} \int_0^T f(t) \cdot \cos(2\pi\nu_n t) dt, B_n = \frac{2}{T} \int_0^T f(t) \cdot \sin(2\pi\nu_n t) dt. \quad (2)$$

На практике удобнее использовать эквивалентную форму записи ряда Фурье в "представлении амплитуд и фаз":

$$f(t) = \frac{a_0}{2} + \sum_{n=1}^{\infty} a_n \cos(2\pi\nu_n t + \varphi_n). \quad (3)$$

, где $a_n = \sqrt{A_n^2 + B_n^2}$, а фаза определяется соотношением $\operatorname{tg} \varphi_n = \frac{B_n}{A_n}$

Соотношения неопределённостей.

Между сигналом как функцией времени $f(t)$ и его спектром как функции частоты $a(\nu)$ имеется взаимосвязь. Если у сигнала $f(t)$ есть какое-то характеристическое время Δt (например период повторения, длительность импульса, время нарастания и т.д.), то в спектре $a(\nu)$ в том или ином виде наблюдается характерный масштаб $\Delta \nu \sim \frac{1}{\Delta t}$ (расстояние между пиками, ширина спектра, ширина пиков и т.д.)

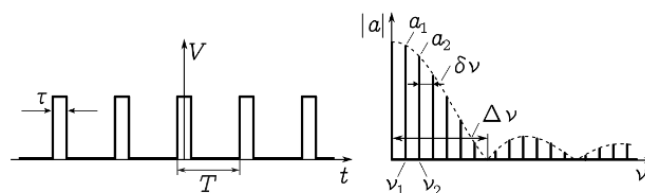


Рис. 1: Периодическая последовательность импульсов и её спектр

$$\Delta\nu \cdot \Delta t \sim 1 \quad (4) - \text{соотношение неопределённостей}$$

Для любого сигнала с периодом T в спектре обязательно будут наблюдаться гармоники на расстоянии $\delta\nu = 1/T$ друг от друга. В данном случае соотношение является точным и от формы сигнала не зависит.

Ход работы

- 1) По техническому описанию ознакомимся с устройством панели приборов: генератора сигналов произвольной формы и цифрового осциллографа/компьютерной программы, используемой для отображения сигналов с осциллографа. Изучим расположение основных кнопок и ручек настройки.
- 2) Подключим один из выходов генератора к одному из каналов осциллографа и включим приборы в сеть.

А. Исследование спектра периодической последовательности прямоугольных импульсов и проверка соотношений неопределённостей

- 3) Следуя техническому описанию генератора, настроим генерацию прямоугольных импульсов. Параметры: $\nu_{\text{повт}} = 1\text{кГц}$ (период $T = 1/\nu_{\text{повт}} = 1\text{мс}$), и длительность импульса $\tau = T/20 = 50\text{мкс}$.
- 4) По техническому описанию получим устойчивую картину сигнала на экране осциллографа.
- 5) Следуя техническому описанию осциллографа, получим на его экране спектр (преобразование Фурье) сигнала.

Масштаб по горизонтальной оси установим меньше или порядка ожидаемой ширины спектра $\Delta\nu \approx 20\text{кГц}$ (ширину спектра оцениваем из соотношения неопределённостей).

Масштаб по вертикальной оси подберём так, чтобы спектральные линии не выходили за пределы экрана (кроме, может быть, «нулевой» гармоники $\nu = 0\text{Гц}$, — она отвечает за уровень постоянного смещения сигнала, и ее высота может оказаться значительно выше остальных).

Центр картины при предварительной настройке установите на 0Гц , а затем после подбора масштабов сместите его так, чтобы спектр занимал весь экран начиная от левого края.

- 6) Пронаблюдаем, как изменяется спектр при изменении параметров сигнала.

Наблюдения: а) При увеличении $\nu_{\text{повт}}$ выросли амплитуды, ширина спектра не меняется.

- б) При увеличении τ амплитуды гармоник вырастают, а ширина спектра уменьшается.

- 7) При фиксированных $\nu_{\text{повт}} = 1\text{кГц}$ и $\tau = 50\text{мкс}$ измерим амплитуды a_n и частоты ν_n 8 гармоник. Сравним значения с рассчитанными теоретически

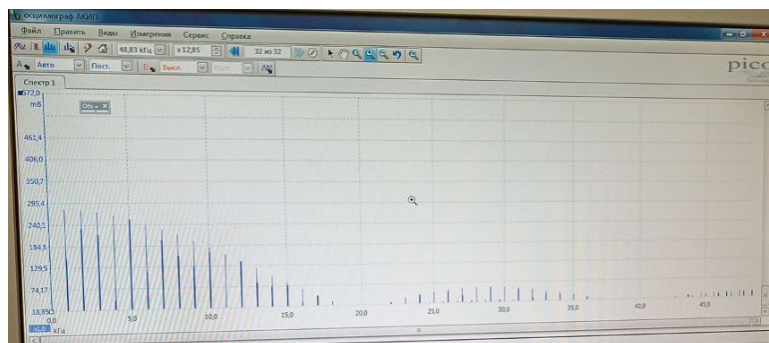


Рис. 2: $\nu_{\text{повт}} = 1\text{кГц}$, $\tau = 50\text{мкс}$

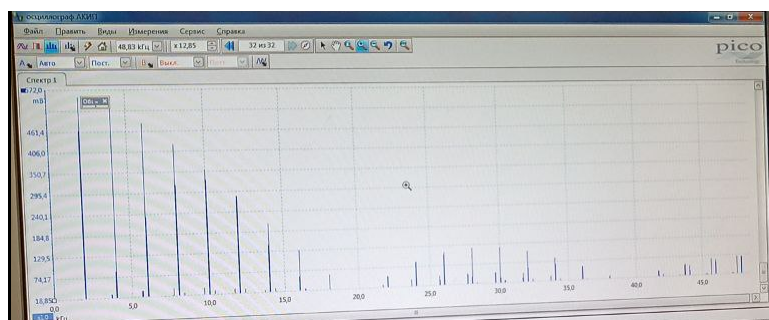


Рис. 3: $\nu_{\text{повт}} = 2\text{кГц}$, $\tau = 50\text{мкс}$

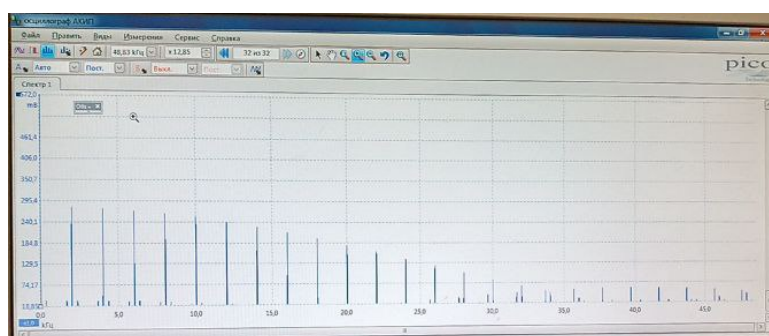


Рис. 4: $\nu_{\text{повт}} = 2\text{кГц}$, $\tau = 25\text{мкс}$

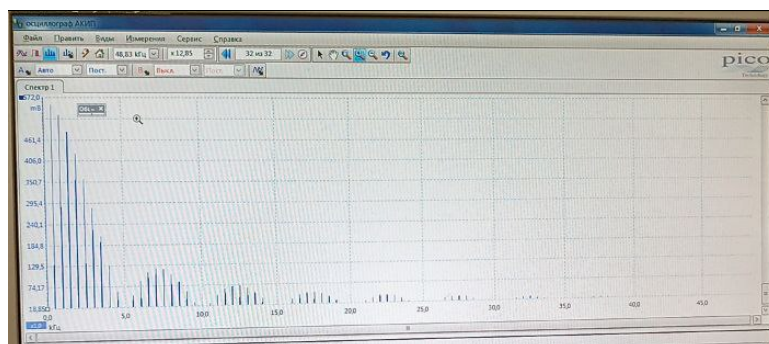


Рис. 5: $\nu_{\text{повт}} = 0.5\text{кГц}$, $\tau = 200\text{мкс}$

$$\nu_n = \frac{n}{T}, |a_n| = \frac{|\sin \frac{\pi n \tau}{T}|}{\pi n} = \frac{\tau}{T} \frac{|\sin \pi \nu_n \tau|}{\pi \nu_n \tau}$$

Результаты измерений занесём в таблицу:

п гармоники	1	2	3	4	5	6	7	8
$\nu_n^{\text{экс}}$, кГц	1,014	2,031	3,007	4,024	5,041	6,017	6,994	8,011
$\nu_n^{\text{теор}}$, кГц	1	2	3	4	5	6	7	8
$ a_n^{\text{экс}} $, мВ	$279,1 \pm 0,1$	$275,8 \pm 0,1$	$270,9 \pm 0,1$	$262,7 \pm 0,1$	$252,9 \pm 0,1$	$241,4 \pm 0,1$	$226,7 \pm 0,1$	$212,0 \pm 0,1$
$ a_n/a_1 ^{\text{экс}}$	1	$0,988 \pm 0,001$	$0,967 \pm 0,001$	$0,939 \pm 0,001$	$0,904 \pm 0,001$	$0,862 \pm 0,001$	$0,814 \pm 0,001$	$0,760 \pm 0,001$
$ a_n/a_1 ^{\text{теор}}$	1	0,988	0,971	0,941	0,906	0,865	0,812	0,760

8) Зафиксируем период повторения T прямоугольного сигнала. $T = 1\text{мс}$, $\nu_{\text{повт}} = 1\text{кГц}$. Изменяя длительность импульса τ в диапазоне от $\tau = T/50$ до $\tau = T/5$, измерим полную ширину спектра сигнала $\Delta\nu$ - от центра спектра ($\nu = 0$) до гармоники с нулевой амплитудой $a_n \approx 0$.

τ , мкс	$\Delta\nu$, кГц	$\nu_{\text{повт}}$, кГц
30	$27,8 \pm 1.4$	1
45	$19,9 \pm 1.0$	
67,5	$13,8 \pm 0.7$	
100	$10,0 \pm 0.5$	
140	$6,0 \pm 0.3$	
200	$5,0 \pm 0.1$	

9) Зафиксируем длительность импульса прямоугольного сигнала $\tau = 100\text{мкс}$. Изменяя период повторения T в диапазоне от 2τ до 50τ измерим расстояния $\delta\nu = \nu_{n+1} - \nu_n$ между соседними гармониками спектра. Если спектральные компоненты окажутся расположены слишком близко друг к другу, измерим расстояние между $(n + m)$ -й и m -й гармониками (для некоторых целых n и m) и найдем $\delta\nu = \frac{(\nu_{n+m} - \nu_n)}{m}$.

T , мкс	$\delta\nu_m$, кГц	$\delta\nu$, кГц	$\nu_{\text{повт}}$, кГц	m , шт
200	$19,98 \pm 0,02$	$4,995 \pm 0,005$	5,00	4
300	$19,98 \pm 0,02$	$3,330 \pm 0,003$	3,33	6
500	$20,00 \pm 0,02$	$2,000 \pm 0,002$	2,00	10
800	$12,52 \pm 0,02$	$1,252 \pm 0,002$	1,25	10
1100	$9,10 \pm 0,02$	$0,910 \pm 0,002$	0,91	10
1500	$6,66 \pm 0,02$	$0,666 \pm 0,002$	0,67	10
2000	$5,06 \pm 0,02$	$0,506 \pm 0,002$	0,50	10
2500	$4,00 \pm 0,02$	$0,400 \pm 0,002$	0,40	10
3000	$3,34 \pm 0,02$	$0,334 \pm 0,002$	0,33	10
3500	$2,86 \pm 0,02$	$0,286 \pm 0,002$	0,29	10
4000	$2,50 \pm 0,02$	$0,250 \pm 0,002$	0,25	10
4500	$2,22 \pm 0,02$	$0,222 \pm 0,002$	0,22	10
5000	$2,00 \pm 0,02$	$0,200 \pm 0,002$	0,20	10

10) Построим графики зависимостей $\Delta\nu(1/\tau)$ и $\delta\nu(1/T)$. Проведем наилучшие прямые и определим их наклон.

График зависимости ширины спектра от обратного времени импульса $\Delta\nu(1/\tau)$:

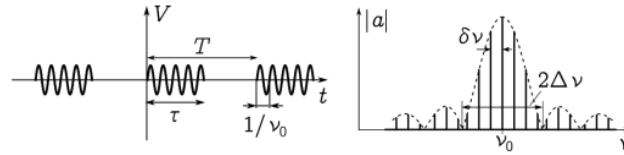
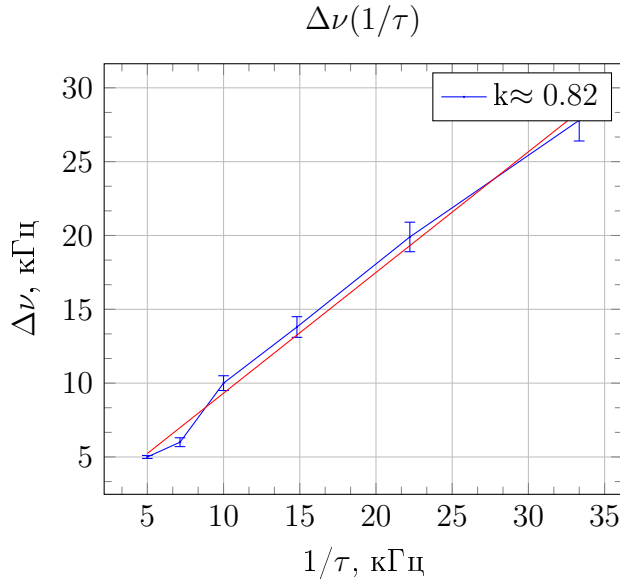
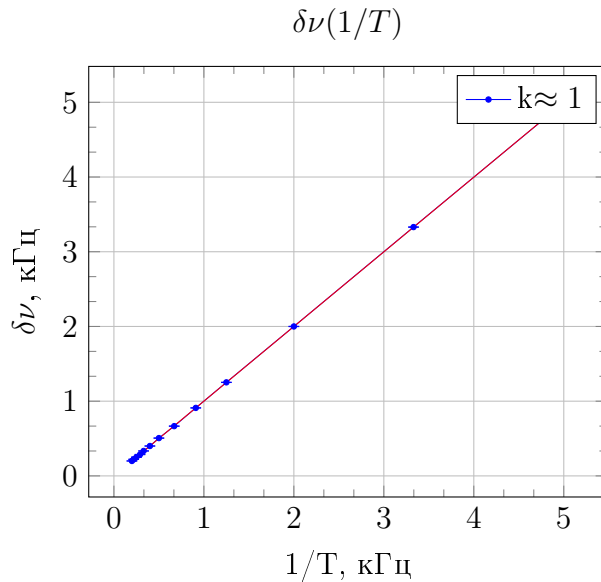


Рис. 6: Периодическая последовательность цугов и её спектр



Получили $k \approx 0.82 \pm 0.05$. По соотношению неопределённостей $k \approx \Delta\nu \cdot \tau \approx 1$. Таким образом соотношение соблюдается, поскольку получена величина по порядку совпадающая с единицей.

График $\delta\nu(1/T)$:



Таким образом получаем $k = \delta\nu \cdot T = 1,000 \pm 0,004 \approx 1$. Убеждаемся в справедливости соотношения неопределённостей.

Б. Наблюдение спектра периодической последовательности цугов

11) Следуя техническому описанию генератора, установим его на режим подачи периодических импульсов синусоидальной формы ("цугов"). Установим несущую частоту $\nu_0 =$

50кГц, период повторения $T = 1\text{мс}$ ($\nu_{\text{повт}} = 1\text{кГц}$), число периодов синусоиды в одном импульсе $N = 5$ (что соответствует длительности импульса $\tau = N/\nu_0 = 100\text{ мкс}$). Получим на экране осциллографа устойчивую картину сигнала.

12) Получим на экране осциллографа спектр сигнала. Центр картины установим на частоту ν_0 . Масштаб по горизонтали (кГц/дел) подберем так, чтобы спектр помещался на экране.

13) Изменяя параметры сигнала T , ν_0 и N пронаблюдаем, как изменяется вид спектра. Сравним наблюдаемые спектры со спектрами прямоугольных импульсов.

Наблюдения: а) При изменении N число волн спектра равно $2N-1$

б) При увеличении N амплитуда растет, ширина спектра уменьшается

в) При увеличении T амплитуда уменьшается, ширина спектра не меняется. Число гармоник увеличивается

г) При увеличении ν_0 амплитуда уменьшается, ширина спектра растет

14) При параметрах сигнала, соответствующих сохранённым в предыдущем пункте изображениям, измерим положение центра спектра, его ширину $\Delta\nu$ и расстояние между гармониками $\delta\nu$.

ν_0 , кГц	$\nu_{\text{центр}}$, кГц	T , мс	$\delta\nu_m$, кГц	m , шт	N , шт	$\delta\nu$
50	50.02 ± 0.02	1	10.01 ± 0.02	20	5	1.00
70	70.00 ± 0.02	1	14.04 ± 0.02	28	5	1.00
50	49.94 ± 0.02	2	9.94 ± 0.02	40	5	0.50
50	50.00 ± 0.02	1	8.00 ± 0.02	16	6	1.00

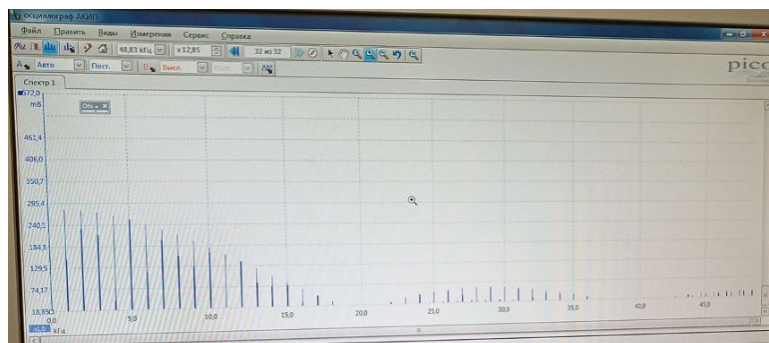


Рис. 7: $\nu_0 = 50\text{кГц}$, $T = 1\text{мс}$, $N = 5$

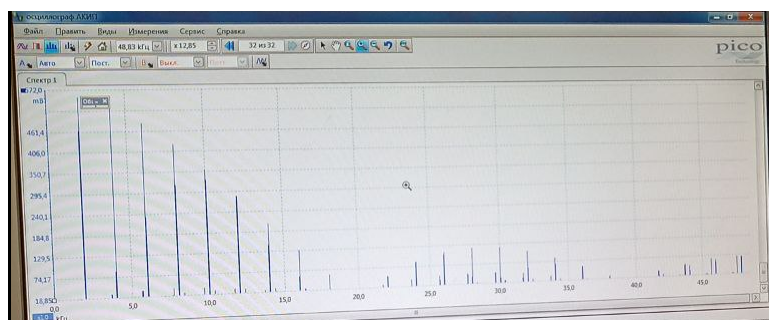


Рис. 8: $\nu_0 = 70\text{кГц}$, $T = 1\text{мс}$, $N = 5$

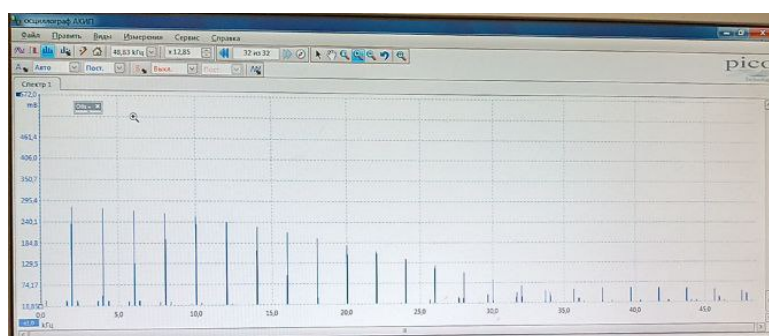


Рис. 9: $\nu_0 = 50\text{кГц}$, $T = 2\text{мс}$, $N = 5$

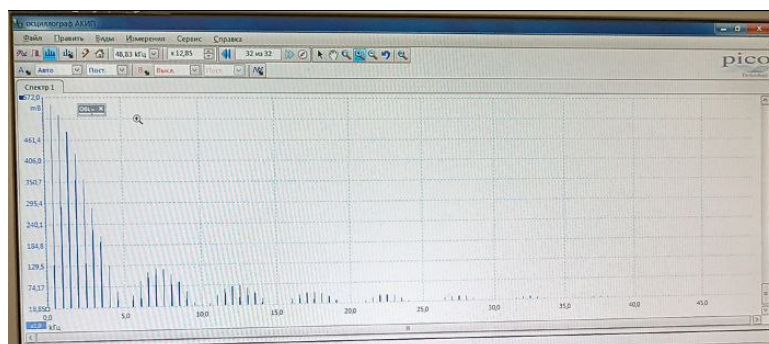


Рис. 10: $\nu_0 = 50\text{кГц}$, $T = 1\text{мс}$, $N = 6$